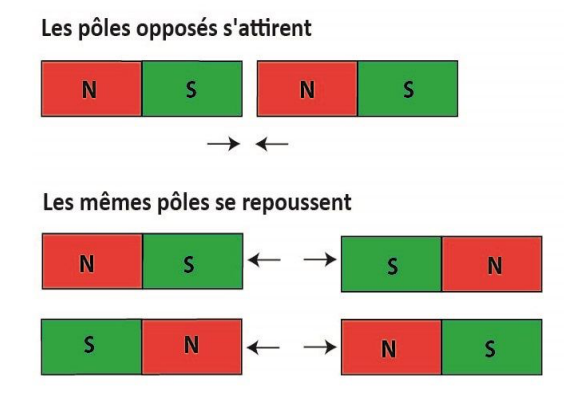


Physique Générale: électromagnétisme – Cours 28

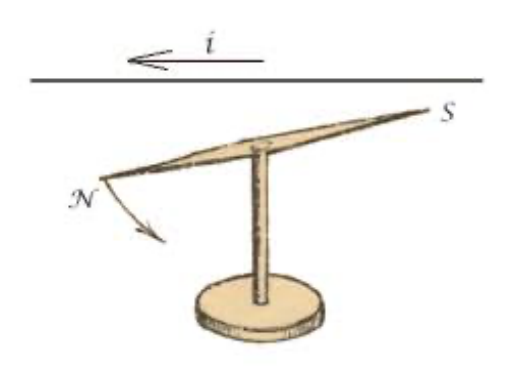
review théorique

# On a observé que...

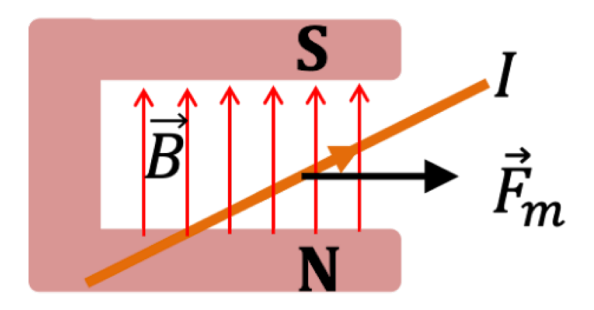
un aimant agit sur un aimant



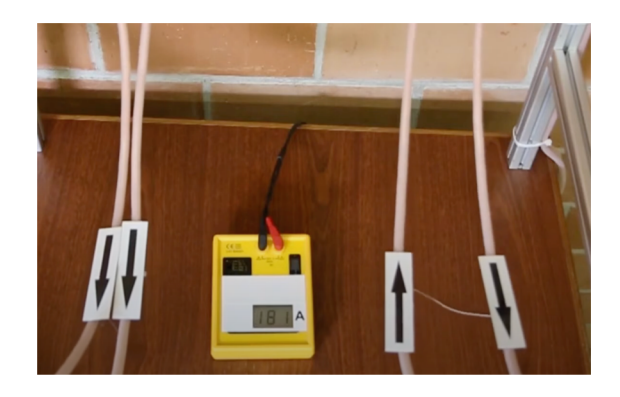
un courant agit sur un aimant



un aimant agit sur un courant

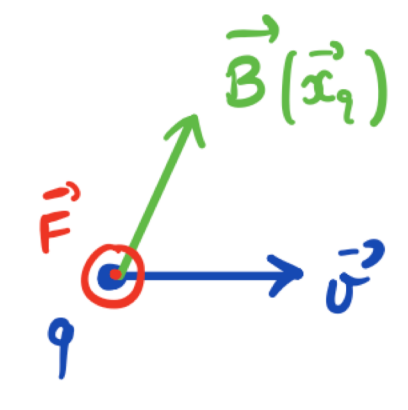


un courant agit sur un courant



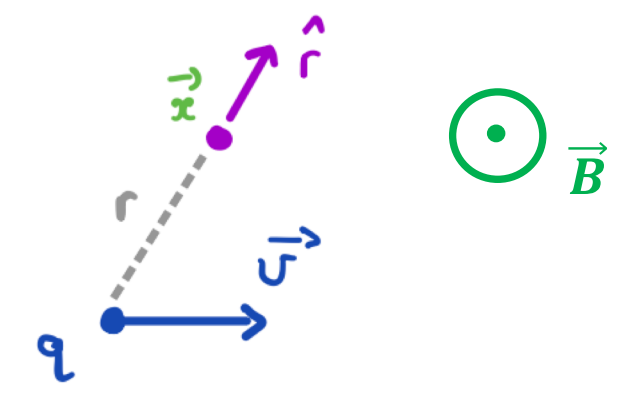
Une charge en mouvement est soumise à B et est source de B!





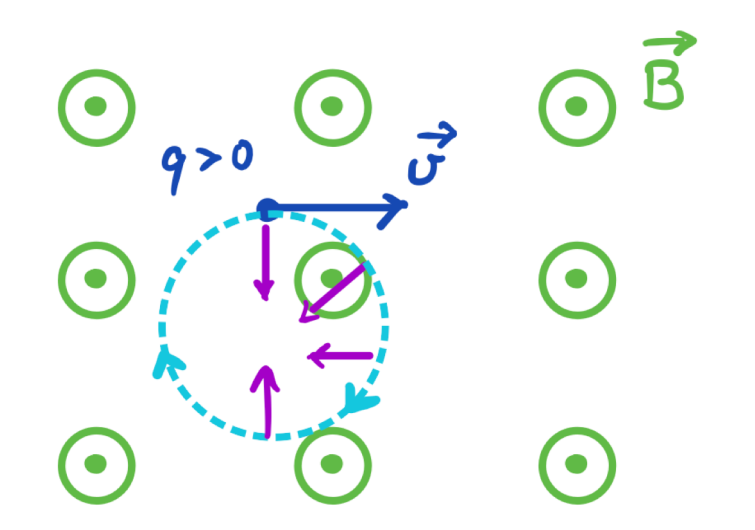
$$\vec{F} = q\vec{v} \times \vec{B}$$





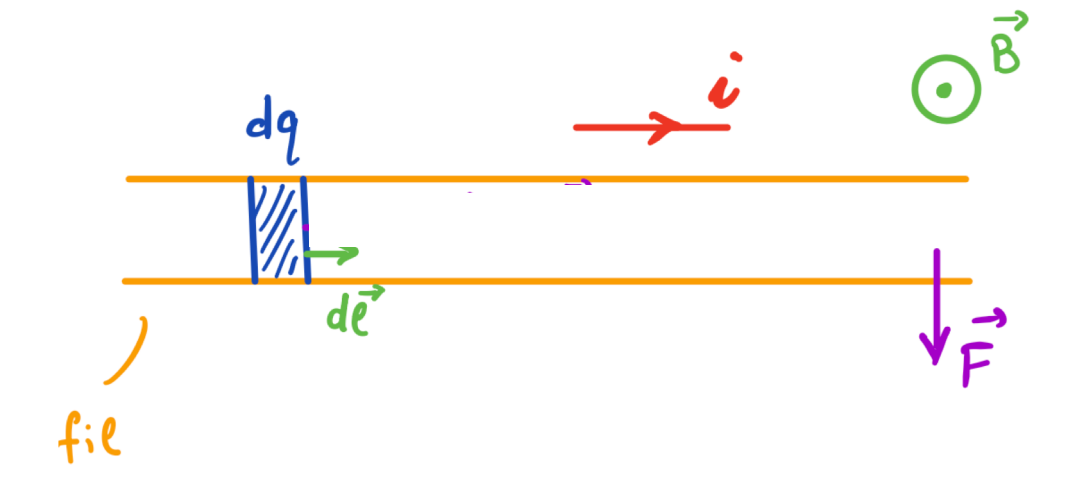
$$\vec{B}(\vec{x}) = \frac{\mu_0}{4\pi} \frac{q\vec{v} \times \hat{r}}{r^2}$$

# Conséquences de la force magnétique sur des charges:



### mouvement cyclotronique

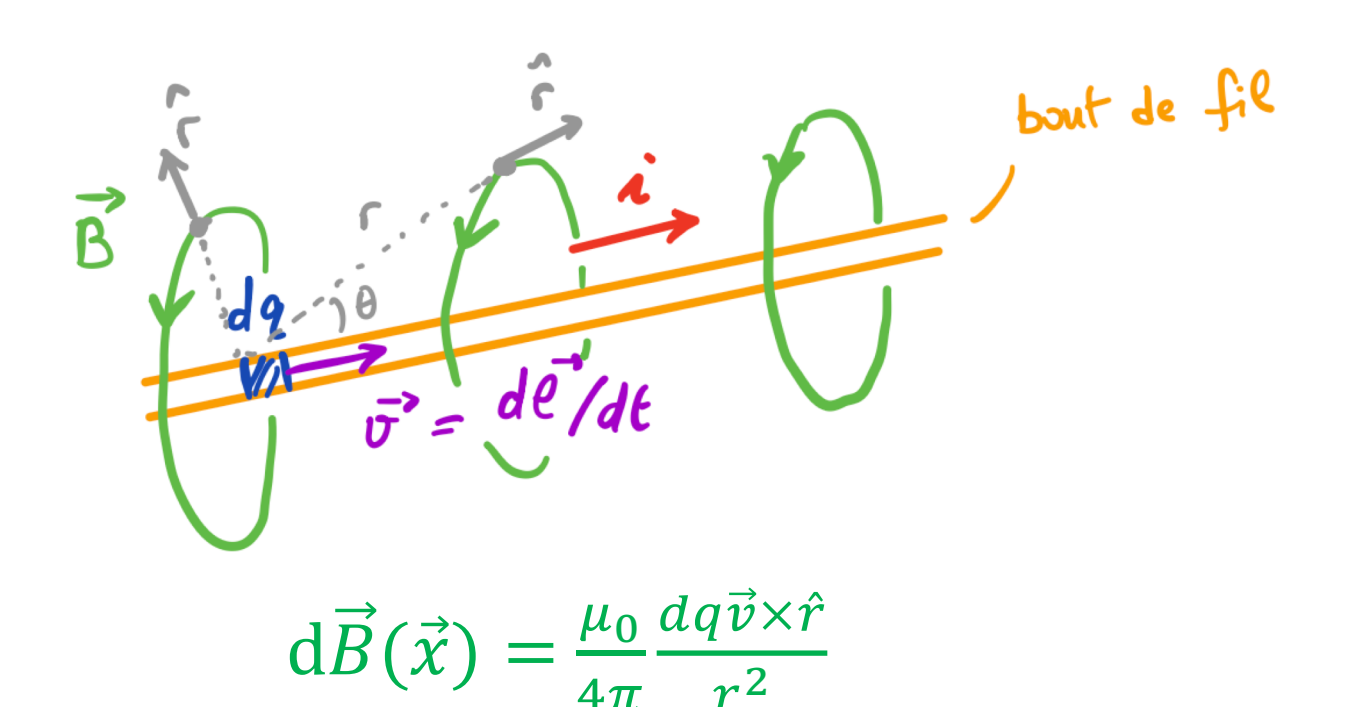
$$R = \frac{m\sigma}{|9|B}$$
 (rayon)
$$f = \frac{191B}{191B}$$
 (fréquence)



### force sur un fil avec courant

et la force ne travaille pas, donc  $|\mathbf{v}|$  = const

# Conséquence de **B** produit par le mouvement de charges:

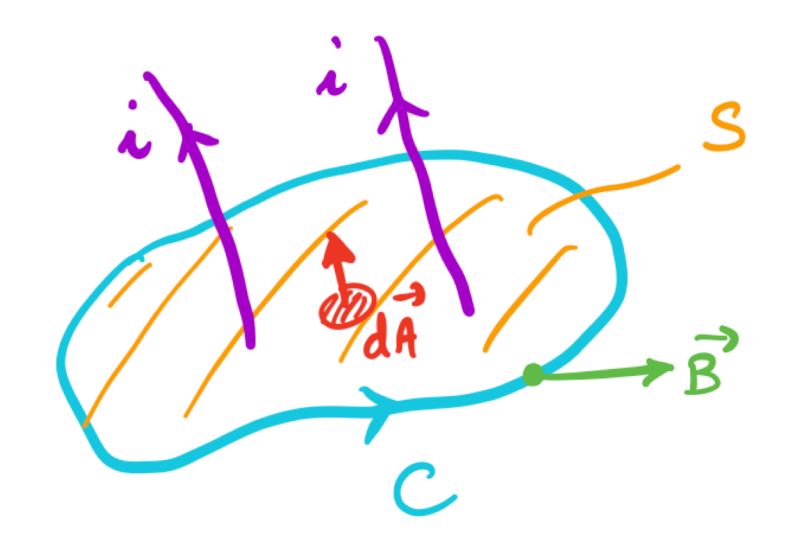


### Champ produit par un courant

$$\vec{B}(\vec{r}) = \int \frac{\mu_0}{4\pi} i \frac{d\vec{l} \times \hat{r}}{r^2}$$

" loi de Biot-Savact"

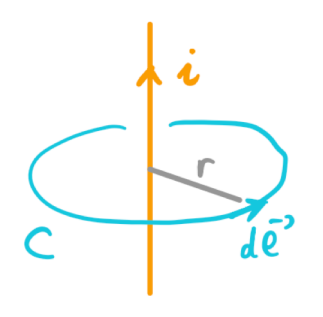
# Loi d'Ampère permet souvent de calculer **B** facilement:



ici, 
$$\int \vec{B} \cdot \vec{U} > 0$$
  
can i orienté  
comme S.

# Exemples de calculs de **B** avec Ampère:

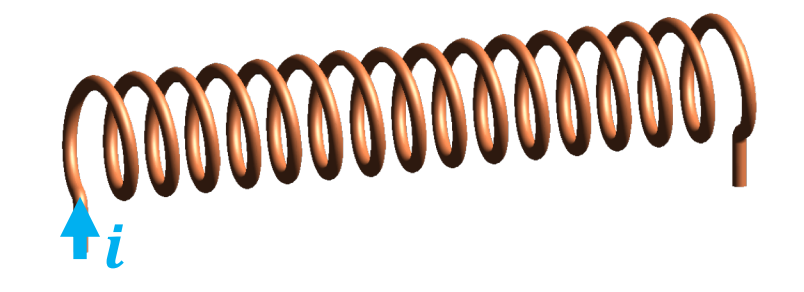
#### fil droit infini

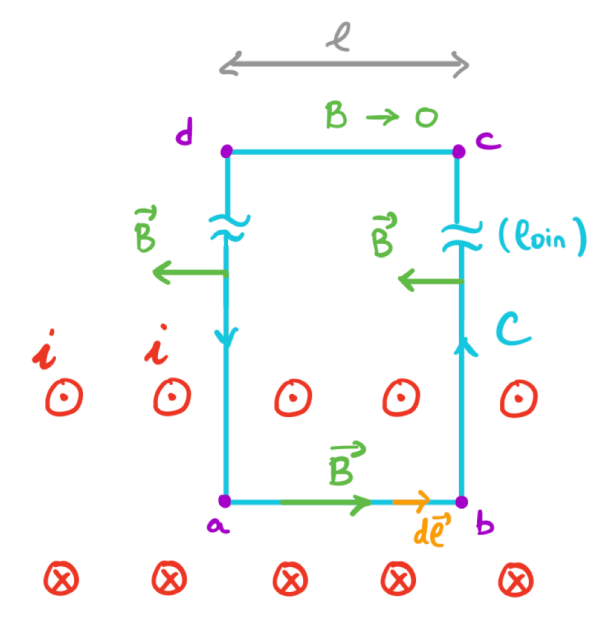


Par symétrie:
$$\begin{cases}
\vec{B} \text{ azimutal} \Rightarrow \vec{B} \cdot d\vec{e} = Bdl \\
\vec{B} = B(r) \Rightarrow \vec{B} \cdot d\vec{e} = Bdl
\end{cases}$$

$$B = \frac{\mu \circ i}{2\pi r}$$

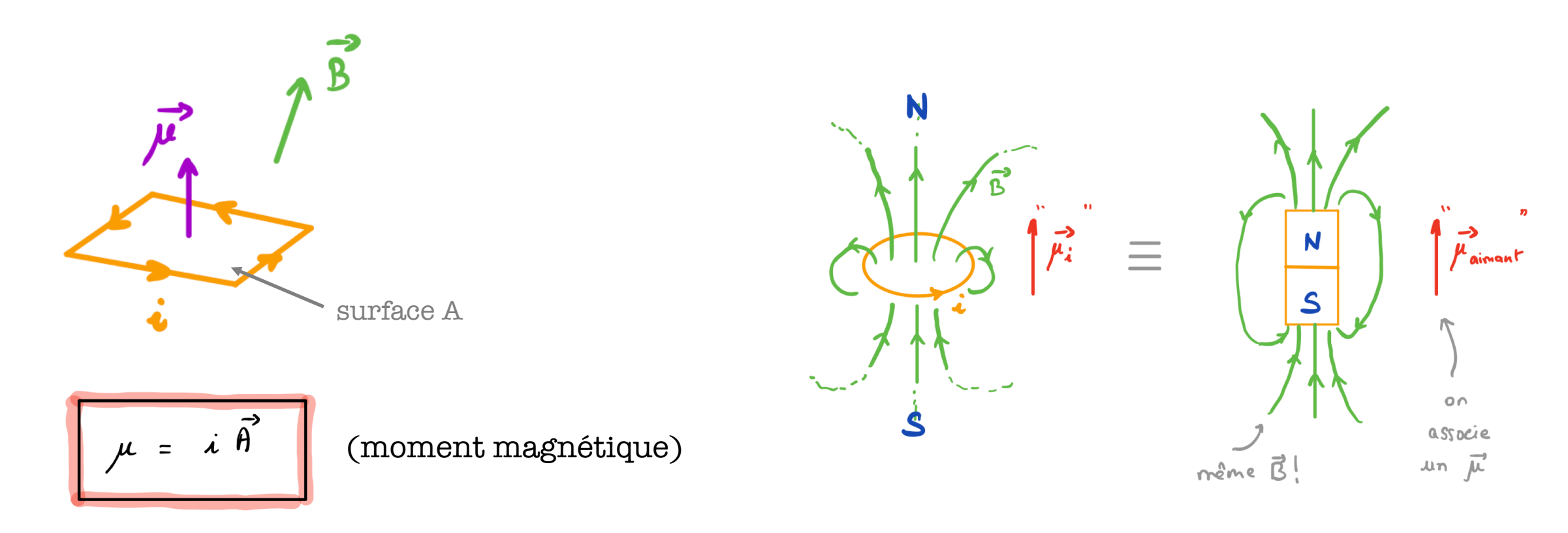
$$\beta = \frac{\mu \circ \lambda}{2\pi r}$$





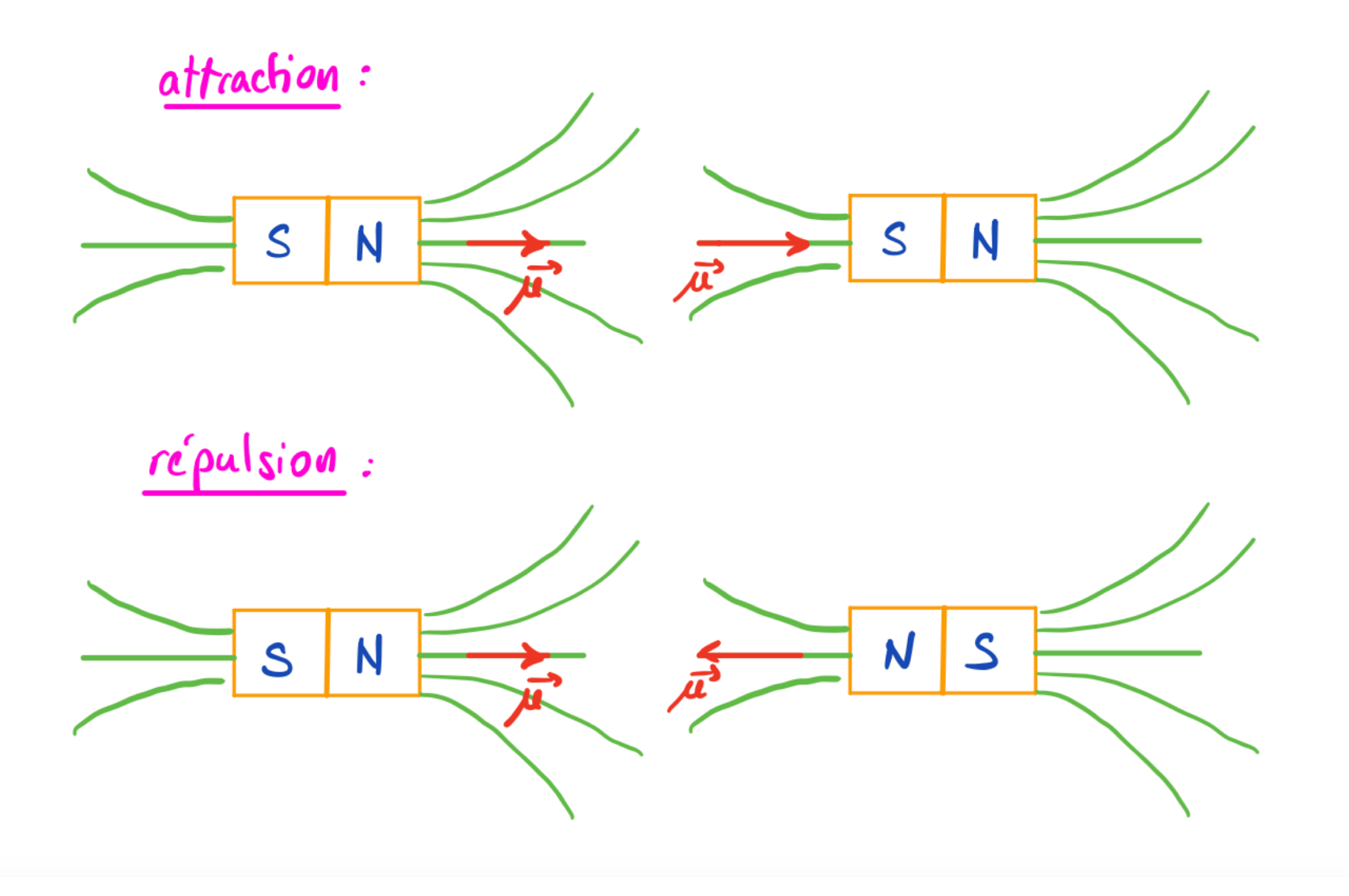
$$B_{\text{solenoide}} = \frac{\mu_{o.i.} N_{\text{tot}}}{L_{\text{tot}}}$$

# Dipôles magnétiques et l'équivalence "spire courant" — "aimant"

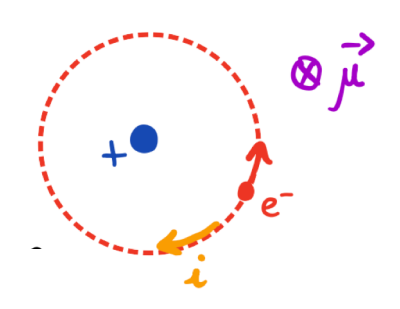


$$\vec{c} = \vec{\mu} \times \vec{B}$$
 (couple de force dans **B** uniforme)

# Dipôles dans **B** non-uniforme explique force entre aimants



# B dans la matière et réponse à un champ externe:

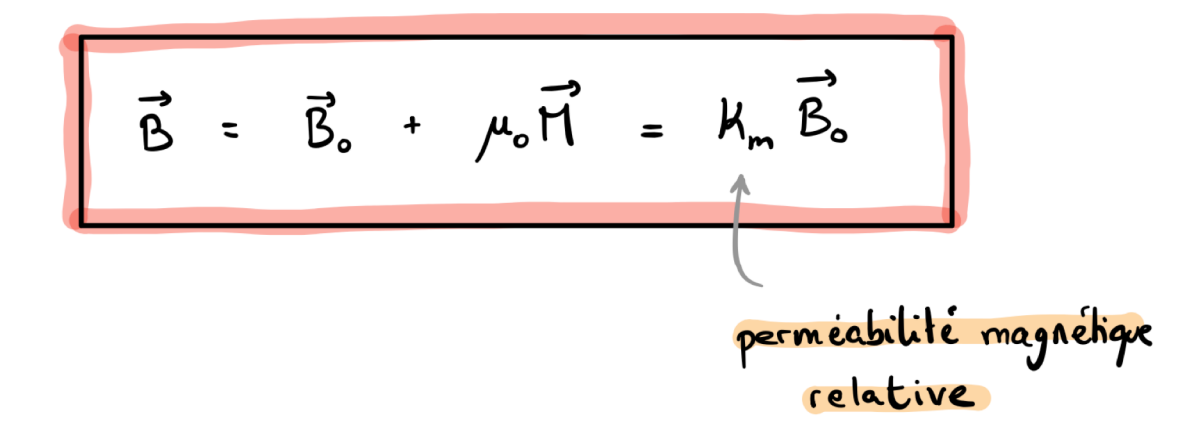


### magnétisation d'un milieu:

souvent  $\mathbf{M} = 0$  car les  $\mu$  sont aléatoires

avec un  $\mathbf{B_0}$  externe les  $\mu$  peuvent s'aligner

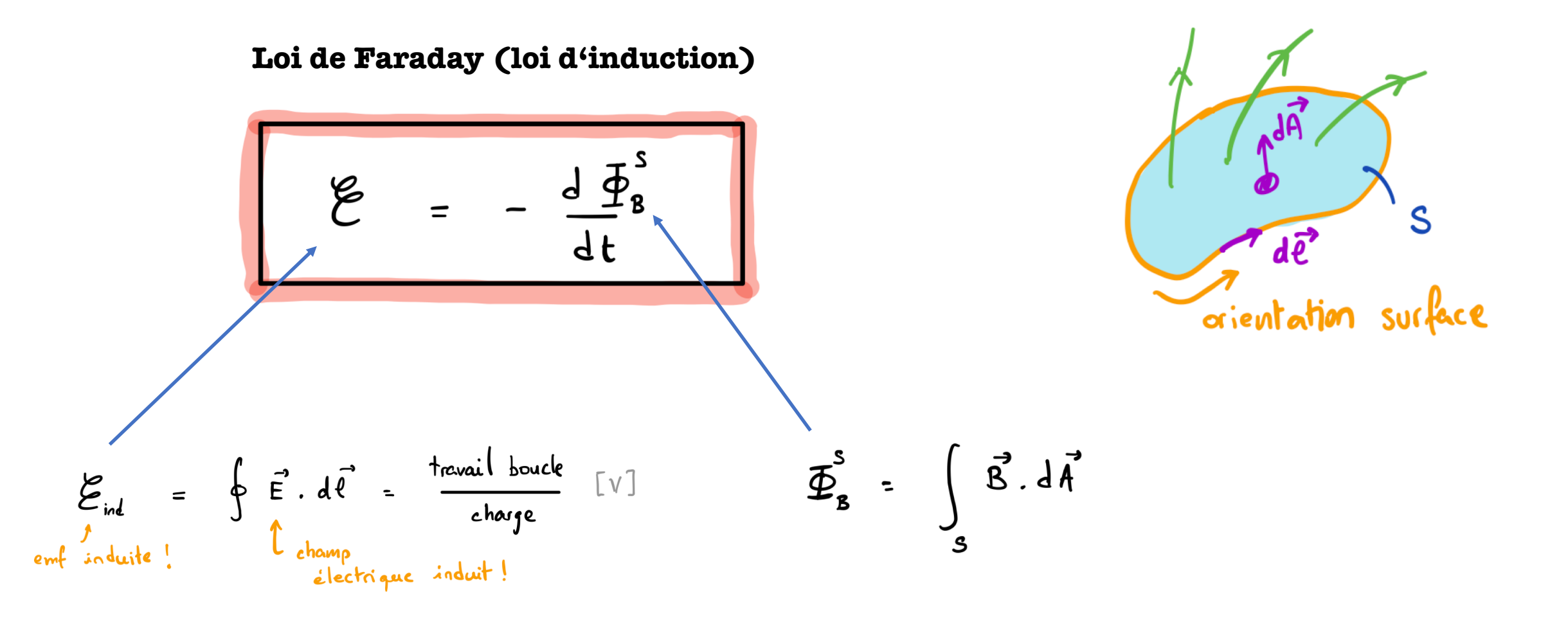
### réponse à un champ externe Bo



matériaux paramagnétiques: K<sub>m</sub> > 1 (cas extrême: ferromagnétiques)

matériaux diamagnétiques: K<sub>m</sub> < 1 (cas extrême: supraconducteurs)

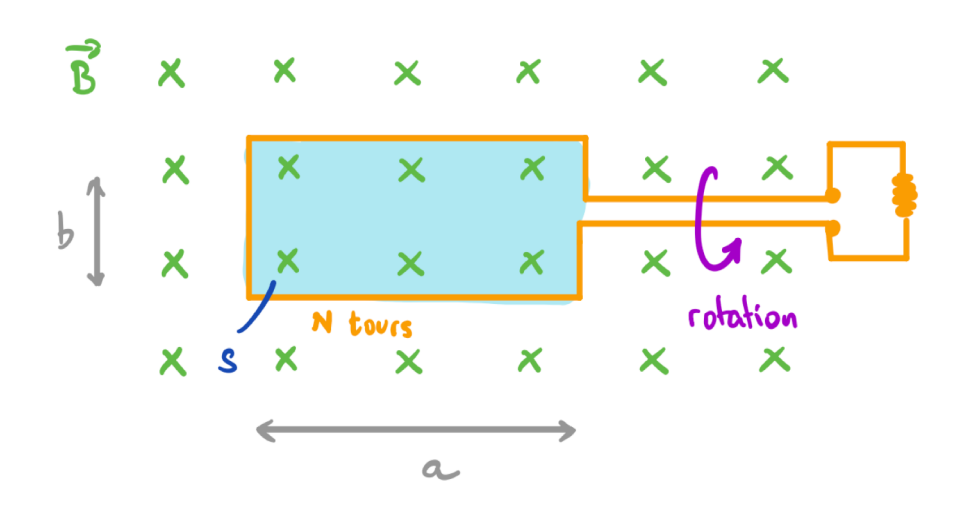
# Phénomène d'induction: un B peut induire un E



règle de Lens: emf s'oppose (si courant induit) à la variation de flux magnétique

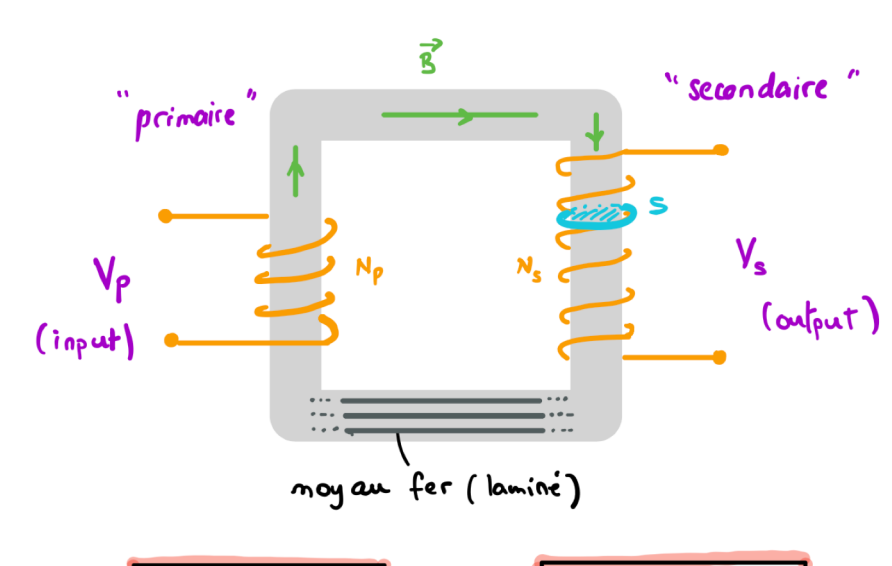
### Applications du phénomène d'induction

### génération d'électricité (AC)



$$\mathcal{E} = -NabB\frac{d}{dt}(\cos\theta) = \mathcal{E}_0 \sin(\omega t)$$

### transformateurs



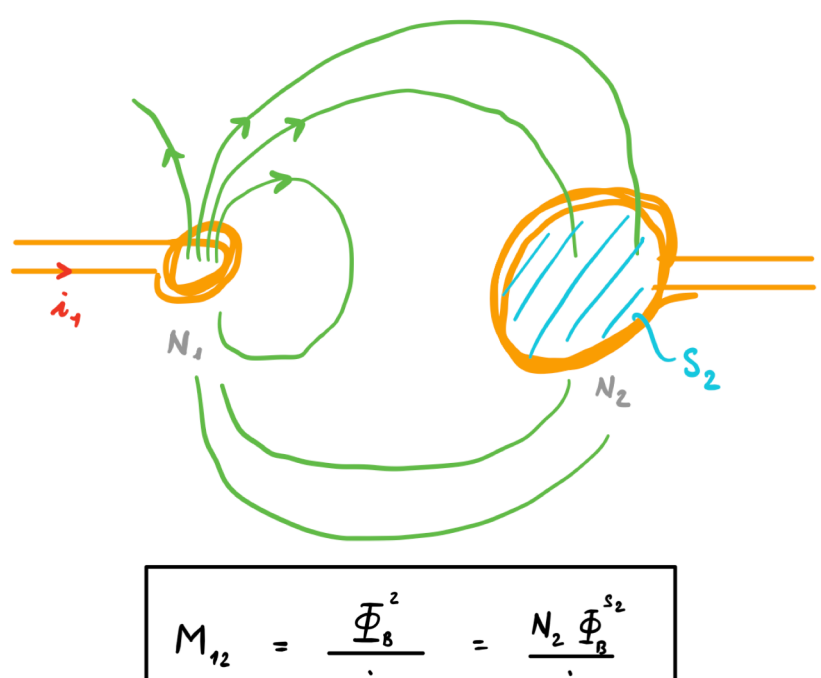
$$\frac{V_s}{V_p} = \frac{N_s}{N_p}$$

$$\frac{\dot{s}_s}{\dot{s}_p} = \frac{N_p}{N_s}$$

autres exemples: chauffage par induction, freinage magnétique, striction, etc.

### Inductance mutuelle et auto-inductance

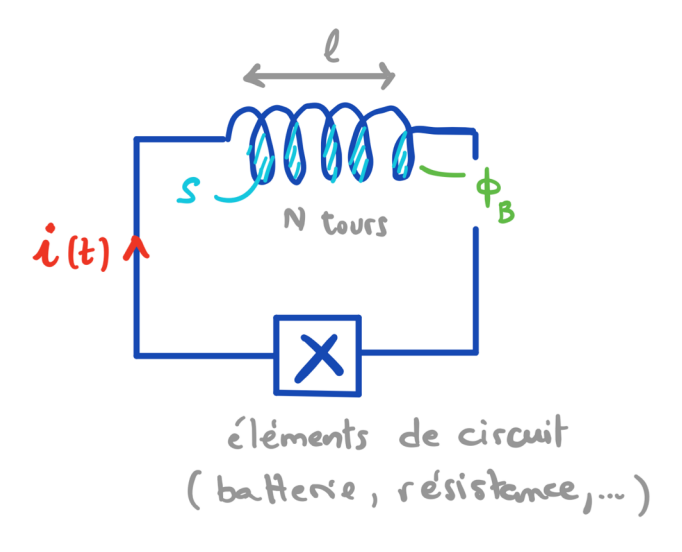
#### inductance mutuelle



$$M_{42} = \frac{\Phi_8^2}{\dot{i}_1} = \frac{N_2 \Phi_8^{s_2}}{\dot{i}_1}$$

$$M_{21} = M_{42} = M$$

### auto-inductance



$$L = \frac{\phi_8}{i}$$

exemple solénoide:  $L = \mu_0 \frac{N^2}{\ell} S$ 

sans solénoide, cadre d'un circuit a aussi une L!

# Force électromotrice induite par une L

par Faraday: 
$$\mathcal{E}_{ind} = -\frac{d\phi_B}{dt} = -L\frac{di}{dt}$$
 back enf

$$i(t)$$

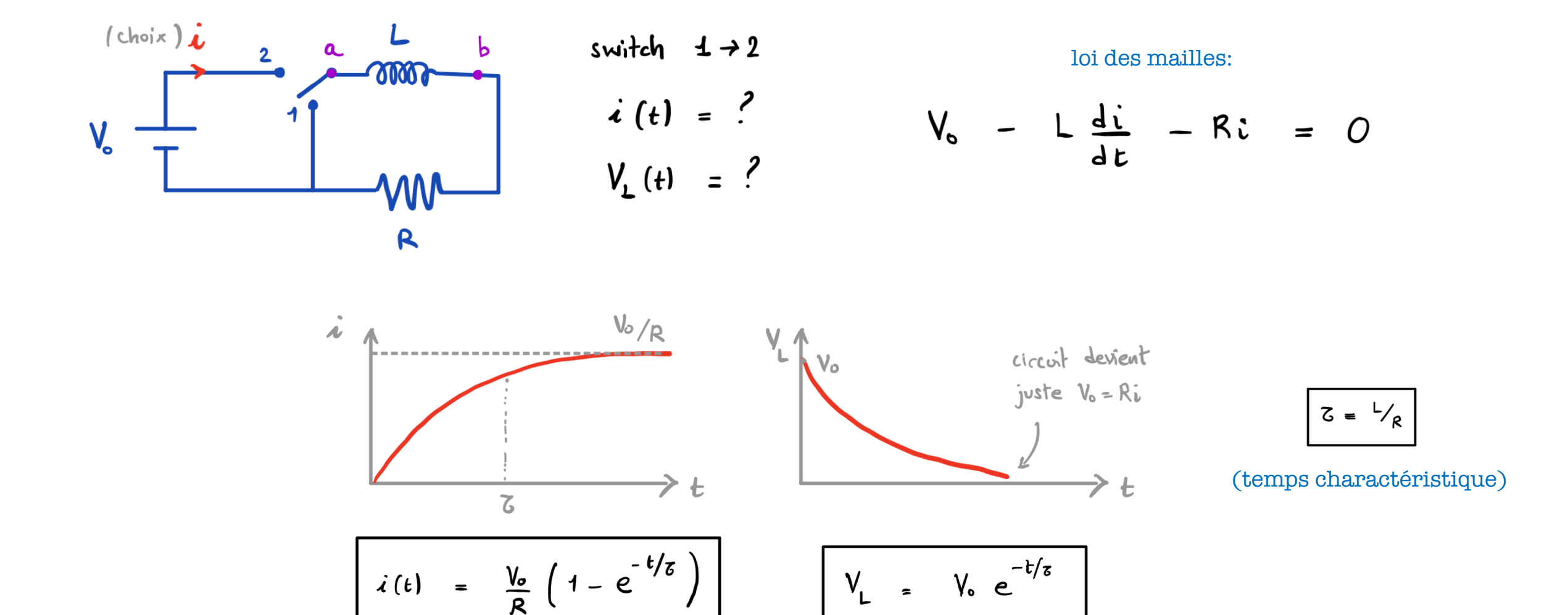
$$\frac{di}{dt} > 0$$

$$\mathcal{E}_{ind} < 0$$

$$V_a - V_b = - \mathcal{E}_{ind} = L \frac{di}{dt}$$

définis par rapport au sens choisi pour i

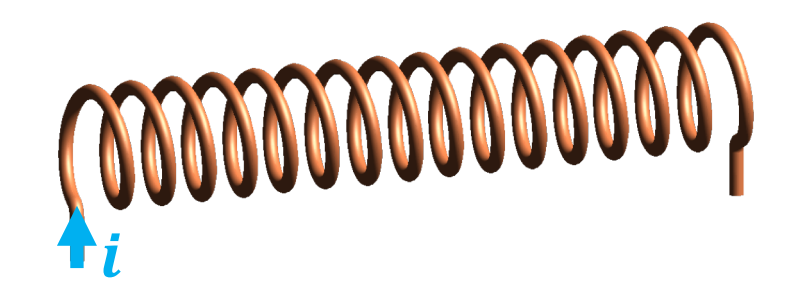
# Circuits RL (exemple de 'charge')



Important: ne pas prendre ces formules comme générales, elles dépendent des conditions initiales et de la configuration du circuit!

### Energie stockée dans une bobine

# énergie (magnétique) stockée dans une bobine:

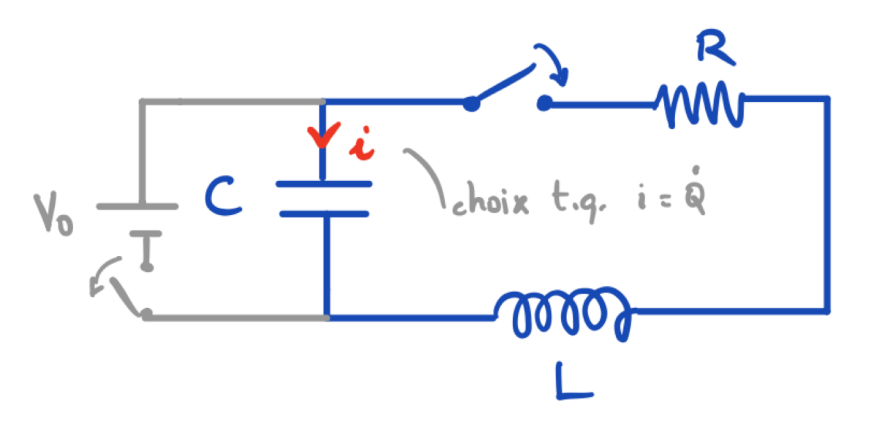


### densité d'énergie (magnétique):

$$u = \frac{B^2}{2\mu^{\circ}}$$
 [Joules/m<sup>3</sup>]

Formule plus générale, aussi valable pour l'énergie (magnétique) dans les ondes é.m.!

# Circuits RLC (exemple avec condensateur initialement chargé)



On charge 
$$C$$
.  
A t=0,  $Q(0) = Q_0$   
et on ferme le circuit.

loi des mailles:

$$-\frac{Q}{C} - Ri - L\frac{di}{dt} = C$$

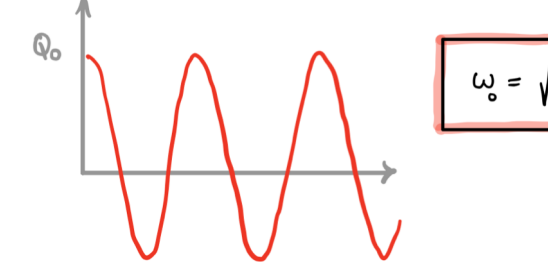
Cas "sur-amorti": 
$$R^2/L^2 - \frac{4}{LC} > 0$$

Cas "sous-amorti": 
$$R^{2}/L^{2} - \frac{4}{LC} < 0$$
  $R = 0$ ?

"oscillations electromagnétiques

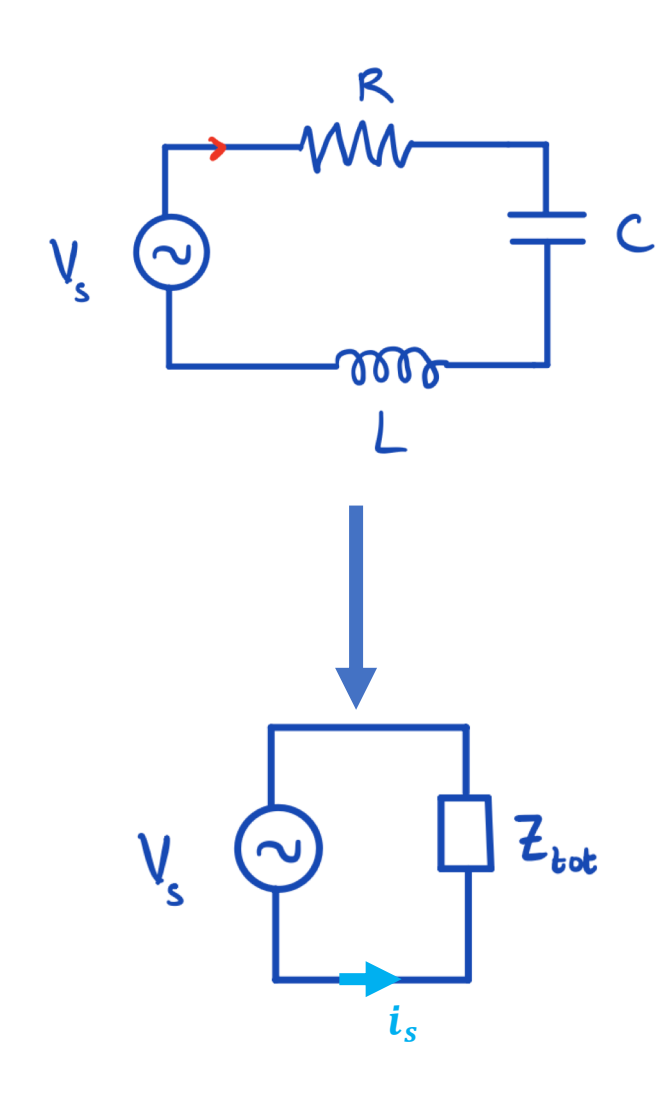
 $Q(t) = Q_{0} e^{-\frac{R}{2L}t} e^{\pm i\omega t}$ 





Important: ne pas prendre ces formules comme générales, elles dépendent des conditions initiales et de la configuration du circuit!

# Circuits AC et impédance complexe (exemple circuit RLC série)



$$V_s = V_0 \sin(\omega t) = Im(V_0 e^{j\omega t})$$
 imposée externement.

### Formules générales impédances:

$$Z_R = R$$

$$Z_L = j\omega L$$

$$Z_C = 1/j\omega C$$

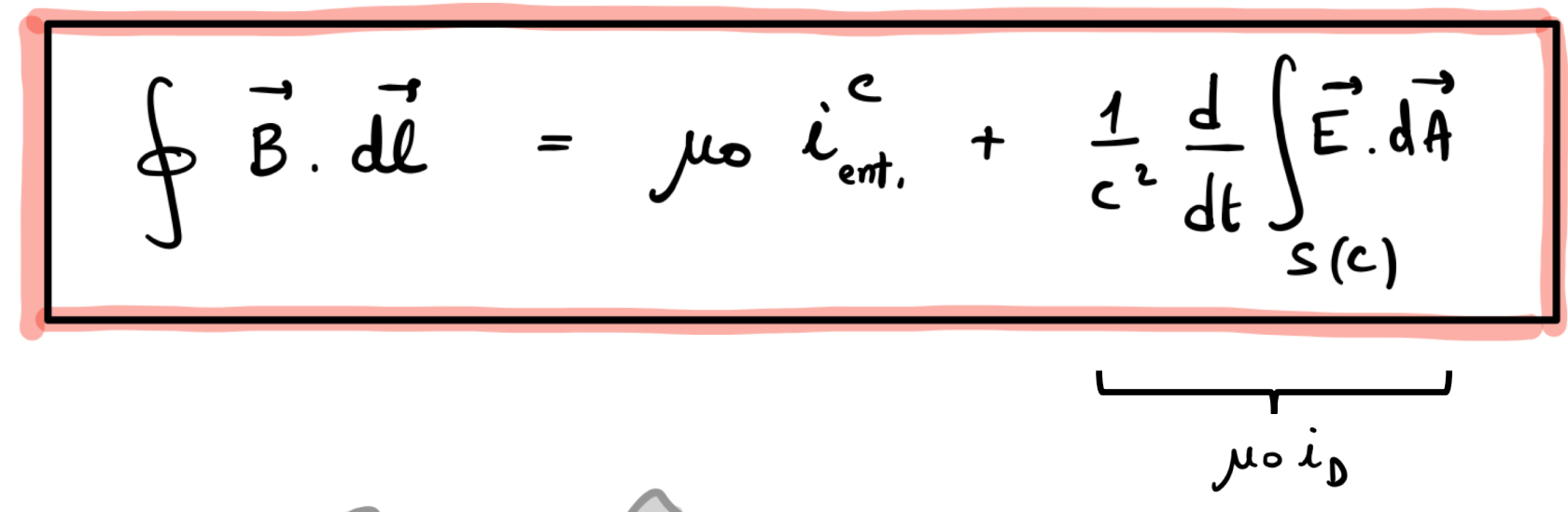
Impédances se combinent comme des résistances:

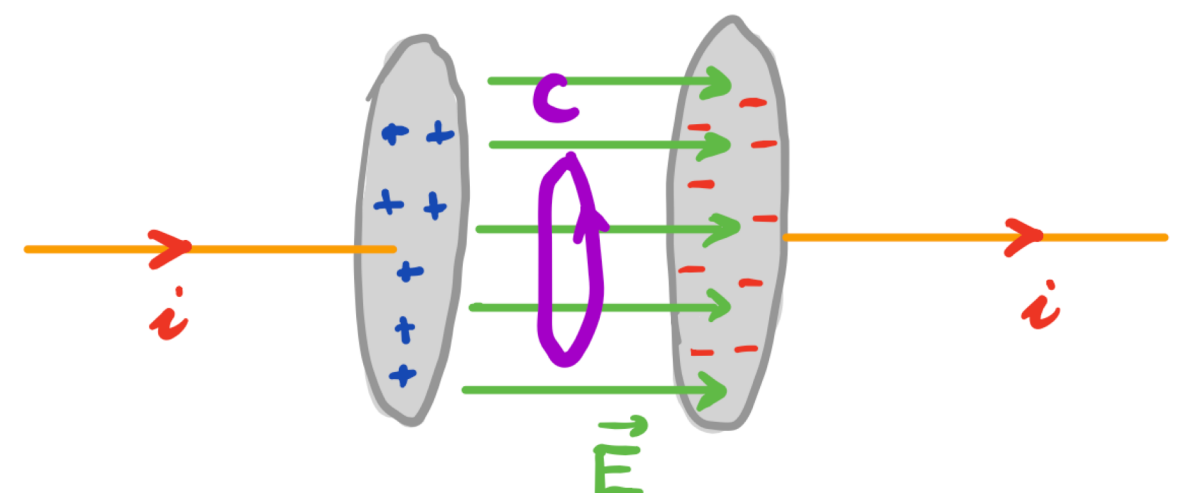
$$i_s(t) = V_s(t)/Z_{tot}$$

condition de résonance:  $\omega = \omega_0 = 1/\sqrt{LC}$  tel que  $Z_{tot} \to 0$  (pour R = 0)

**Note:** si circuit en parallèle, on a vu que  $\omega = \omega_0 = 1/\sqrt{LC}$  tel que  $Z_{tot} \to \infty$  (pour R = 0)

# Loi d'Ampère généralisée avec un "courant de déplacement"





Implique que dans un condensateur avec E(t), il y a aussi un champ magnétique à l'intérieur!

Plus généralement: une variation de E(t) produit un champ magnétique!

### Equations de Maxwell

$$\int_{S_{\text{ferrice}}} \vec{E} \cdot d\vec{A} = \frac{\Theta_{\text{enf}}^{s}}{\epsilon_{0}} ; \qquad \int_{S_{\text{ferrice}}} \vec{B} \cdot d\vec{A} = 0$$

$$\int_{S_{\text{ferrice}}} \vec{E} \cdot d\vec{A} = \frac{d}{dt} \int_{S(c)} \vec{B} \cdot d\vec{A} ; \qquad \int_{C} \vec{B} \cdot d\vec{A} = 0$$

$$\int_{C} \vec{E} \cdot d\vec{A} = \frac{d}{dt} \int_{S(c)} \vec{B} \cdot d\vec{A} ; \qquad \int_{C} \vec{B} \cdot d\vec{A} = 0$$

forme intégrale

$$\vec{\nabla} \cdot \vec{E} = \frac{\vec{P}}{\epsilon} ; \vec{\nabla} \cdot \vec{B} = 0$$

$$\vec{\nabla} \times \vec{E} = -\frac{3\vec{B}}{3t} ; \vec{\nabla} \times \vec{B} = \mu_0 \vec{J} + \frac{1}{c'} \frac{3\vec{E}}{3t}$$

forme différentielle

### Equations de Maxwell dans le vide prédisent des ondes é.m. avec u = c!

#### dans le vide:

$$\vec{\nabla} \cdot \vec{E} = 0$$
 ;  $\vec{\nabla} \cdot \vec{B} = 0$ 

$$\vec{\nabla} \times \vec{E} = -\frac{3\vec{B}}{3t} ; \vec{\nabla} \times \vec{B} = \frac{1}{1} \frac{3\vec{E}}{3t}$$

### exemple d'équation d'onde:

$$\vec{E} = \vec{E}(z,t)$$

$$\vec{B} = \vec{B}(z,t)$$

$$\frac{3t^2}{3t^2} = \frac{1}{2} \frac{3t^2}{3t^2}$$

(idem pour E<sub>y</sub>, B<sub>x</sub>, B<sub>y</sub>)

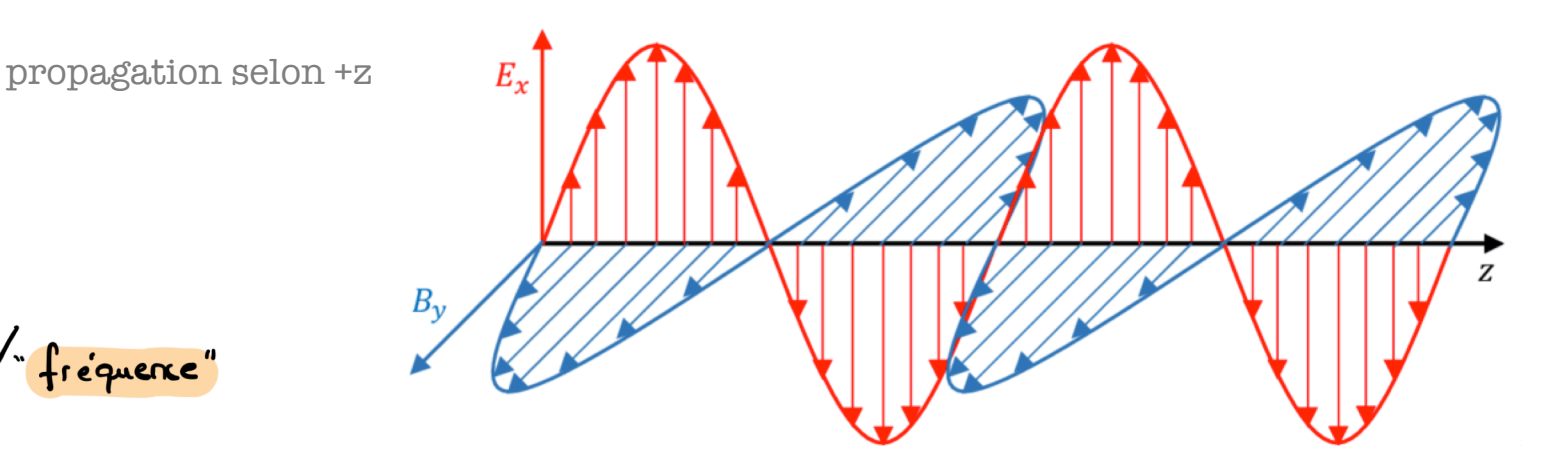
### exemple de solution (onde plane):

 $E_x(z,t) = E_0 \cos(kz-\omega t)$ 

$$T = 2\pi/\omega = \frac{1}{f}$$
 "période" =  $1/\pi$  fréquence"

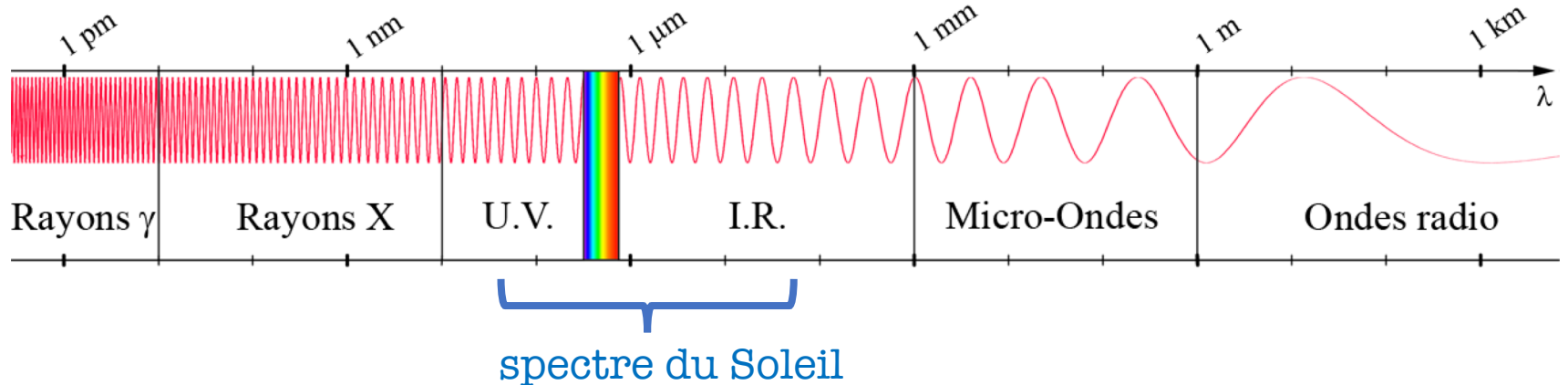
$$\frac{\lambda}{T} = \lambda \cdot f = c$$

#### C'est la lumière!



$$\vec{E} \cdot \vec{\beta} = 0$$
  $\vec{E} \times \vec{\beta} \propto \frac{1}{2}$   $\frac{\vec{E}}{\vec{B}} = c$ 

Très souvent, les ondes é.m. ont un spectre de fréquences/longueurs d'onde:



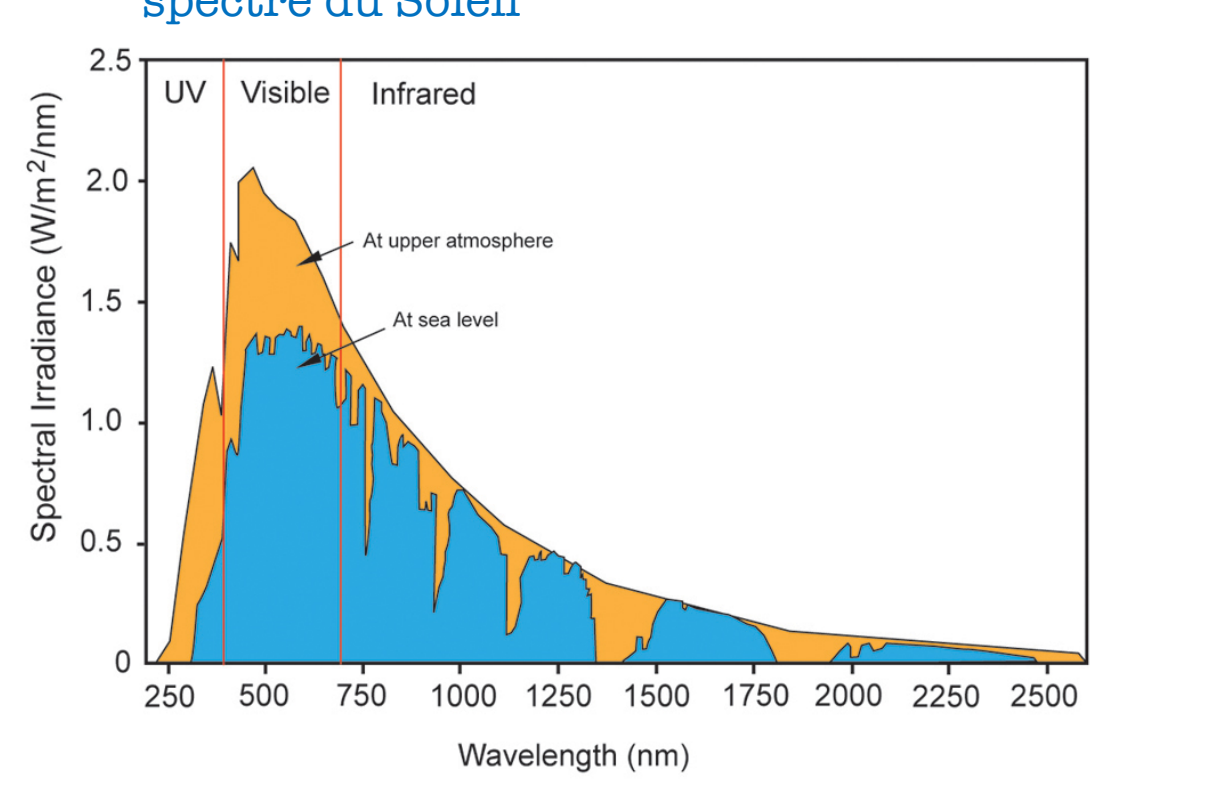
spectre Fourier 4D

$$\tilde{E}(\omega, \vec{k}) = \frac{1}{(2\pi)^2} \iiint \int E(\vec{x}, t) e^{i(\vec{k}\cdot\vec{x} - \omega t)} d^3\vec{x} dt$$

spectre Fourier 1D (fréquence)

$$\tilde{E}(\omega) = \frac{1}{(2\pi)^{1/2}} \int E(t)e^{i\omega t}dt$$

et dans le vide  $\omega = 2\pi f = \frac{2\pi c}{\lambda}$ 



Energie dans les ondes é.m.

Densité d'énergie: 
$$u = \frac{1}{2} \varepsilon_0 E^2 + \frac{B^2}{2\mu o}$$

 $\vec{S} = \frac{1}{\mu_0} \vec{E}_x \vec{B}$  " vector de Poynting" (mesure le flux d'énergie [W/m²] et sa direction de propagation)

Intensité = moyenne temporelle de S(x,t):

$$\overline{S} = \frac{1}{T} \int_{0}^{T} \frac{1}{\mu_{0}} EB dt = \varepsilon_{0} c \varepsilon_{0}^{2} (\overline{k} \cdot x - \omega t)$$
pour une onde plane

Permet en particulier de calculer  $E_0$  et  $B_0$  à partir de l'intensité de la lumière.

### Pression de radiation

$$\frac{1}{2}$$
 =  $\frac{1}{c^2}$   $\frac{1}{5}$  des champs é.m.

$$\vec{F} = \frac{\Delta \vec{p}}{\Delta t} = \vec{g} c A$$

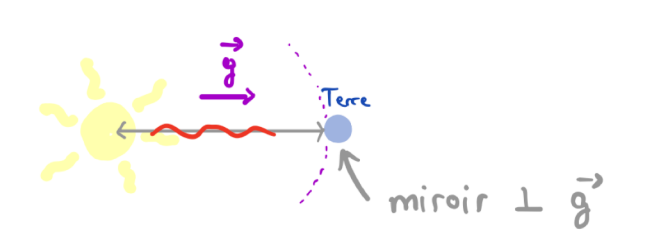
$$\Rightarrow$$
 pression =  $\frac{F}{A}$  =  $cg = \frac{\overline{S}}{c}$   $\left[\frac{N}{m^2}\right]$ 

· cas "miroir parfait":

$$\vec{F} = 2 \frac{\Delta \vec{p}}{\Delta t}$$

$$\Rightarrow$$
 pression =  $\frac{2S}{S}$ 

exemple: rayonnement solaire sur miroir



$$P = \frac{2S}{c}$$

$$\sim \frac{1.4 \times 10^{3}}{3 \times 10^{8}}$$

$$\sim 4 \times 10^{-6} Pa$$

# Ondes dans diélectriques (constante diélectrique K)

vitesse de propagation 
$$v = \frac{1}{\sqrt{KK_m \epsilon_0 \mu_0}} := \frac{c}{n}$$

peut dépendre de la fréquence (couleur)!

Implication pour un rayon passant d'un milieu à un autre:

$$f \lambda = c \quad (vide)$$

$$f \lambda = \frac{c}{n_2} \quad (eau)$$

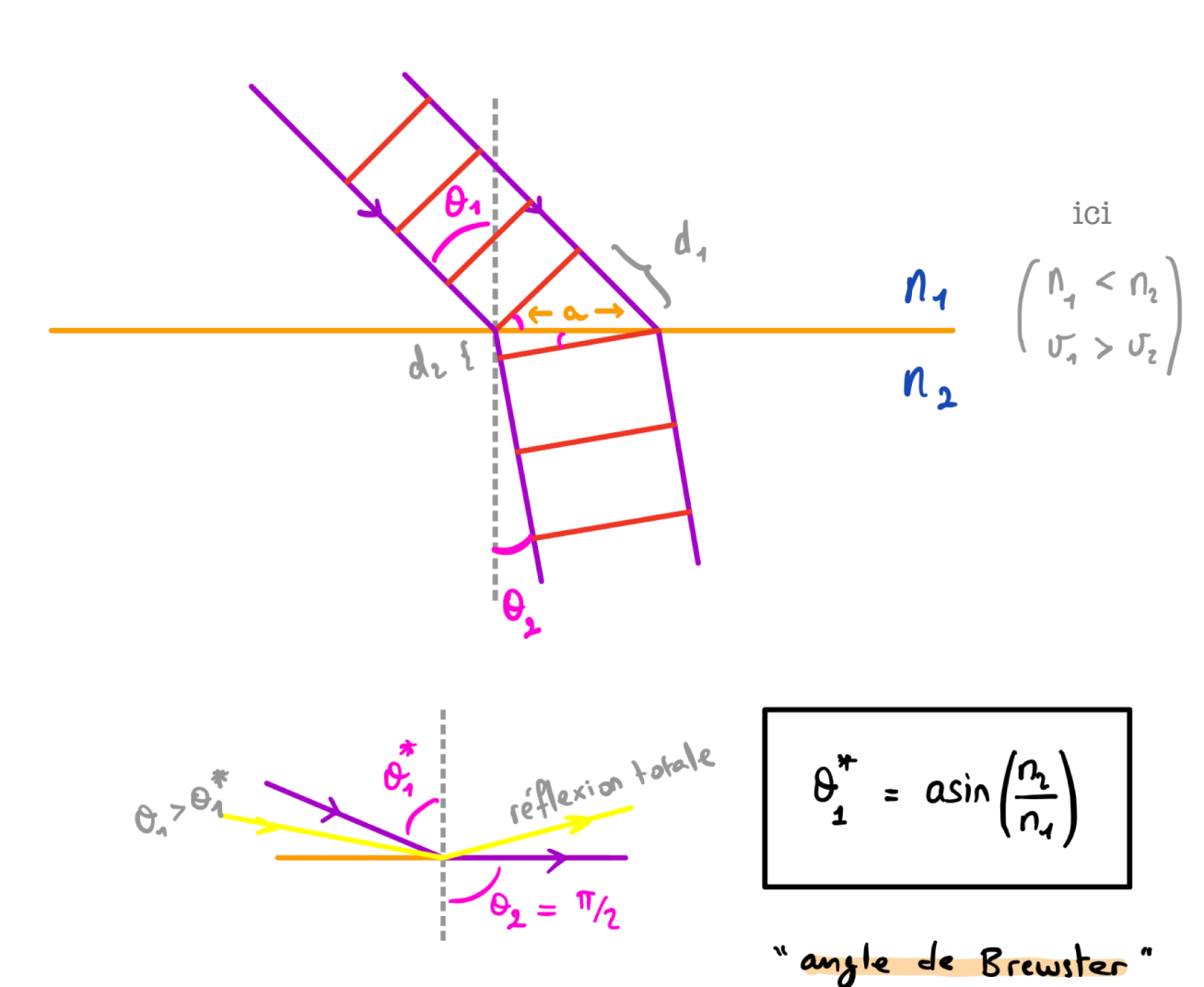
$$\frac{\lambda_z}{\lambda_4} = \frac{n_4}{n_2}$$

### Loi de la refraction et de la réflexion:

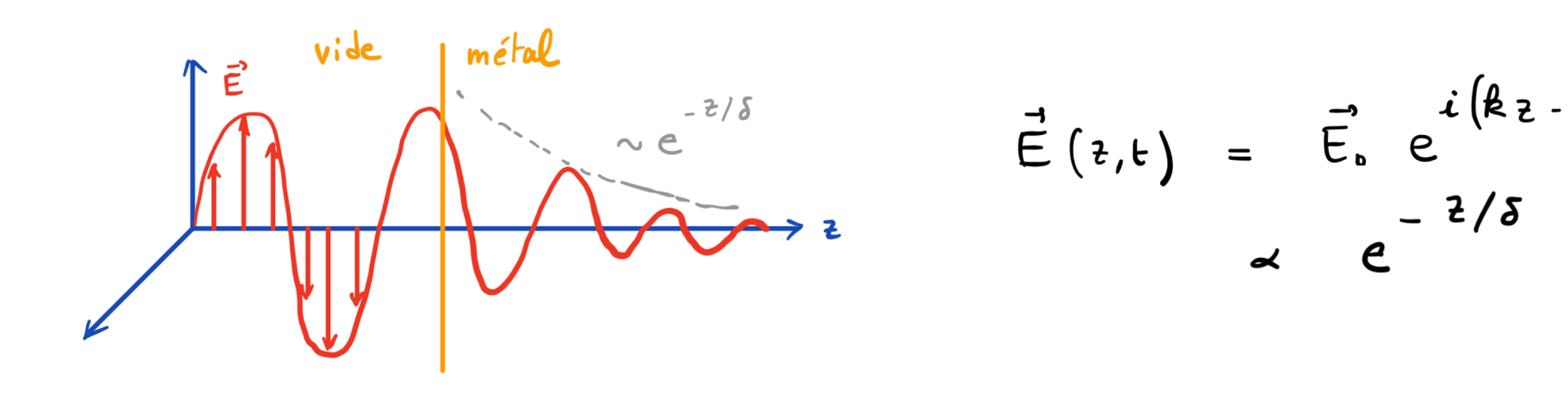
$$n_1 \sin \theta_1 = n_2 \sin \theta_2$$

Mais 
$$\sin \theta_2 = \frac{n_1}{n_2} \sin \theta_1$$
 ne peut pas être >1!

Pour n, > nz, il y a done un o, maximal.



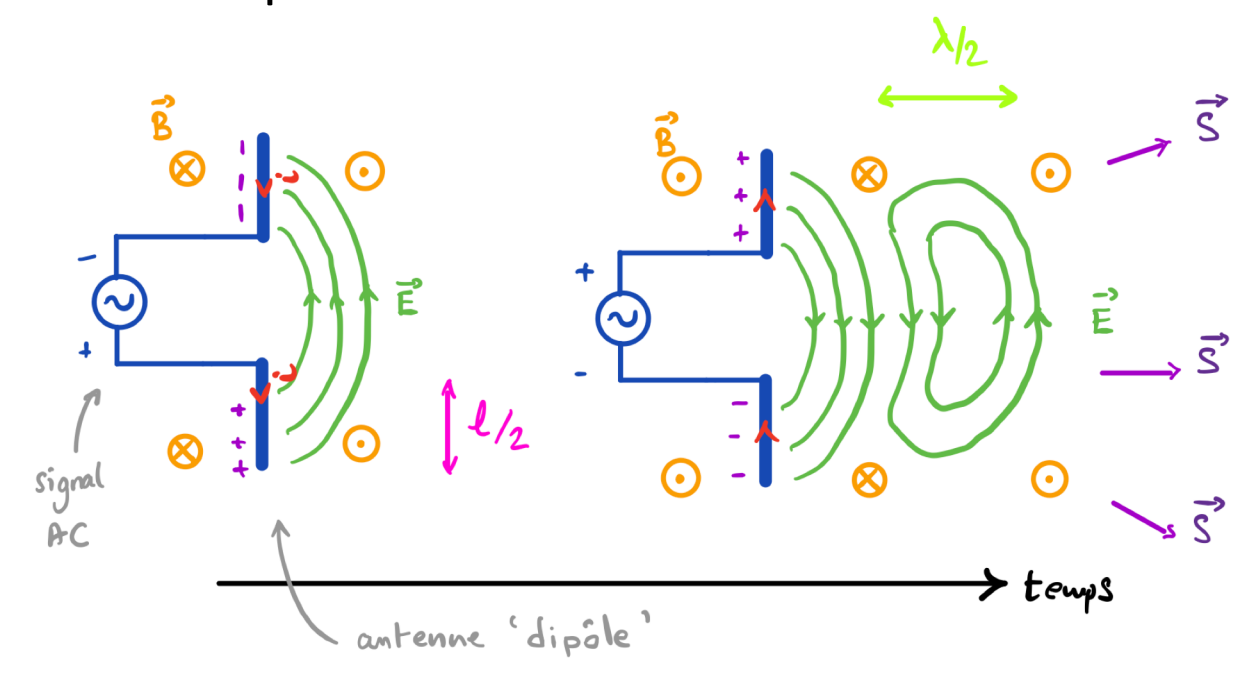
# Ondes dans conducteurs (conductivité $\sigma$ )

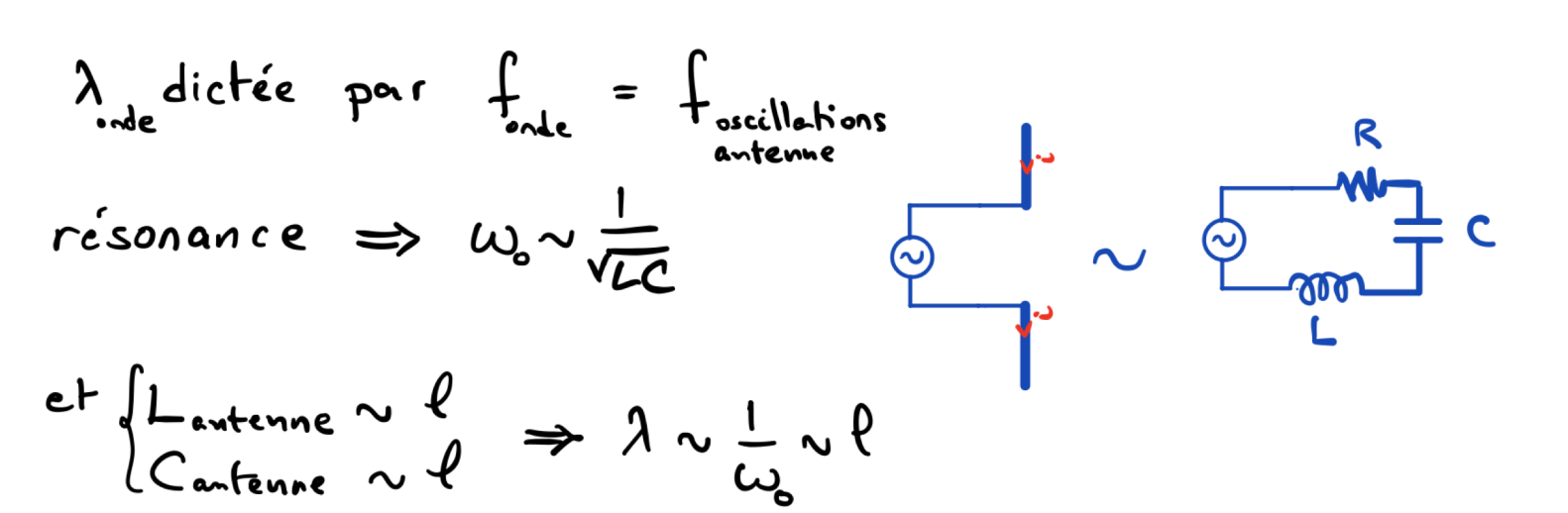


$$\delta = \sqrt{\frac{2}{\mu \sigma \omega}}$$
Cas limite:  $\sigma \to \infty$  (conducteur parfait)
$$\Rightarrow \delta = 0$$

$$\Rightarrow \text{ pas de propagation !}$$

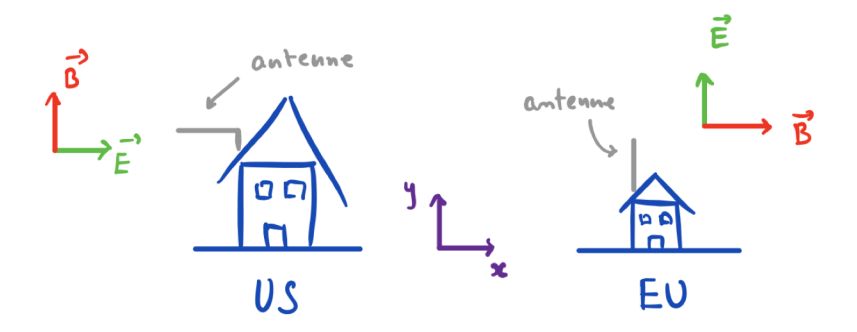
### Génération d'ondes par une antenne



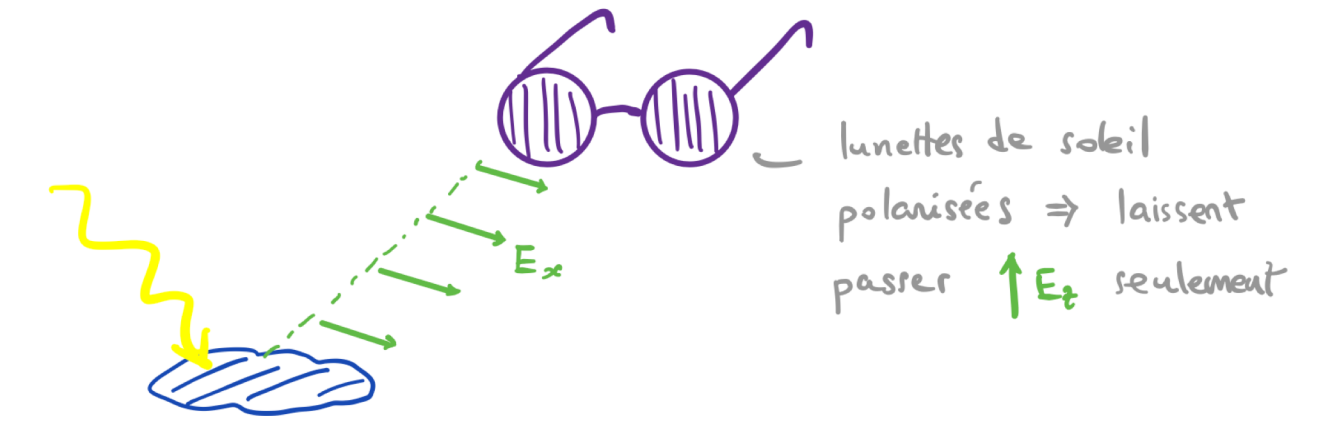


**Donc:** taille optimale l d'une antenne est comparable à la longueur d'onde  $\lambda$  de l'onde émise (ou reçue)

### Polarisation des ondes

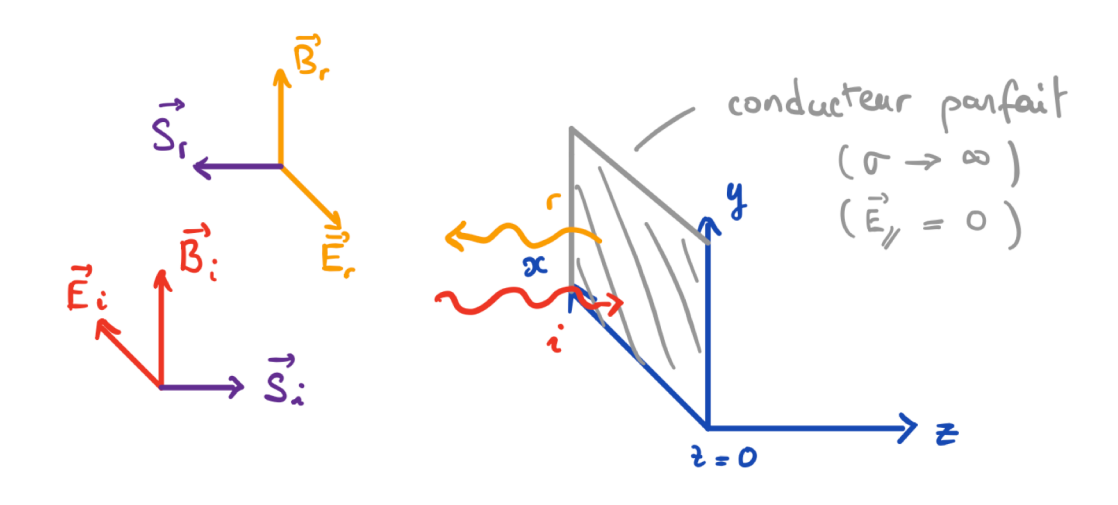


onde émise par une antenne est polarisée



onde devient polarisée après réflexion par une surface, avec **E** parallèle au plan de réflexion

### Ondes stationnaires

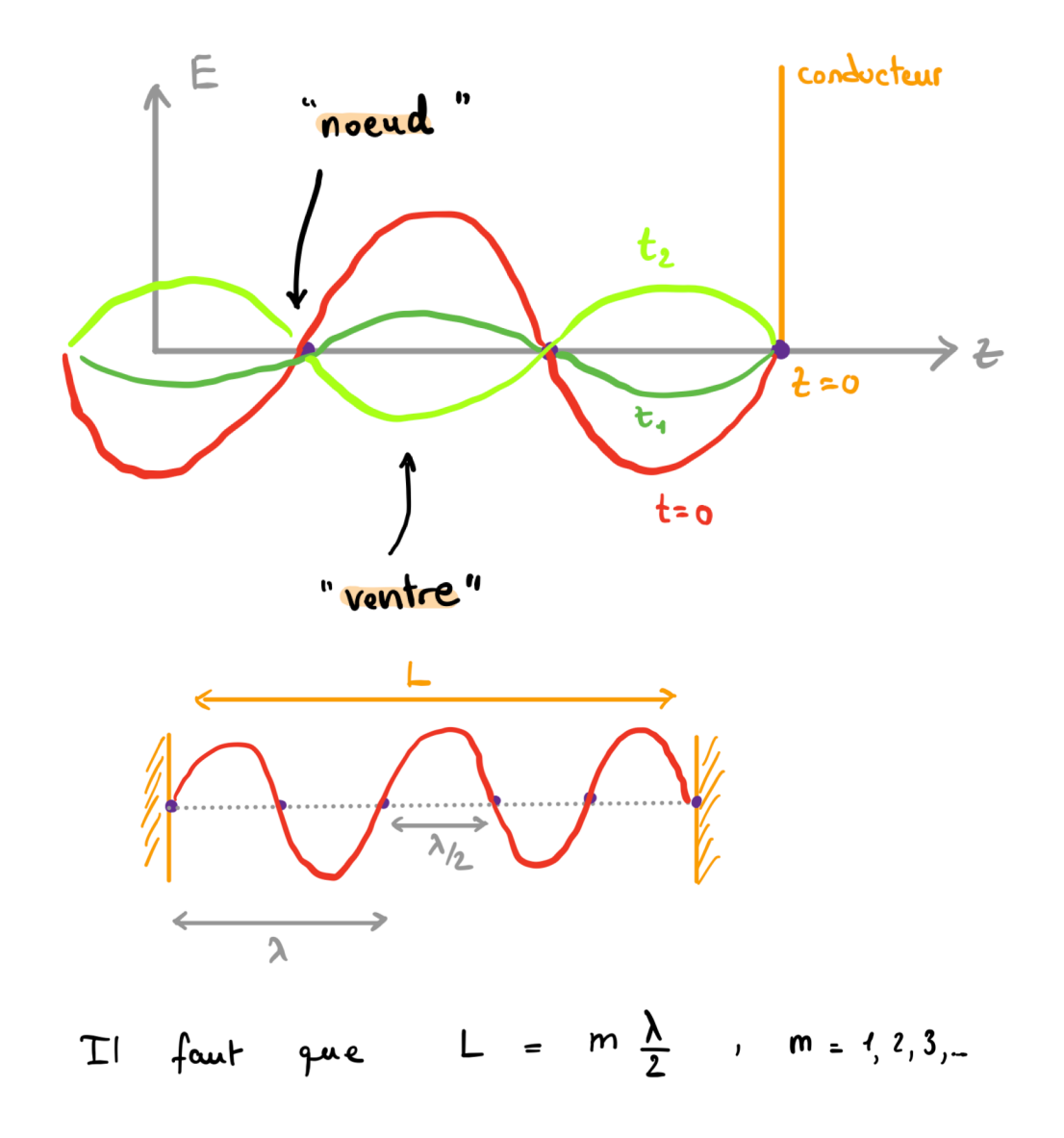


$$\vec{E} = \vec{E}_{:} + \vec{E}_{:} = \frac{E_{o}}{2} \left[ \cos(kz - \omega t) - \cos(kz + \omega t) \right] \hat{x}$$

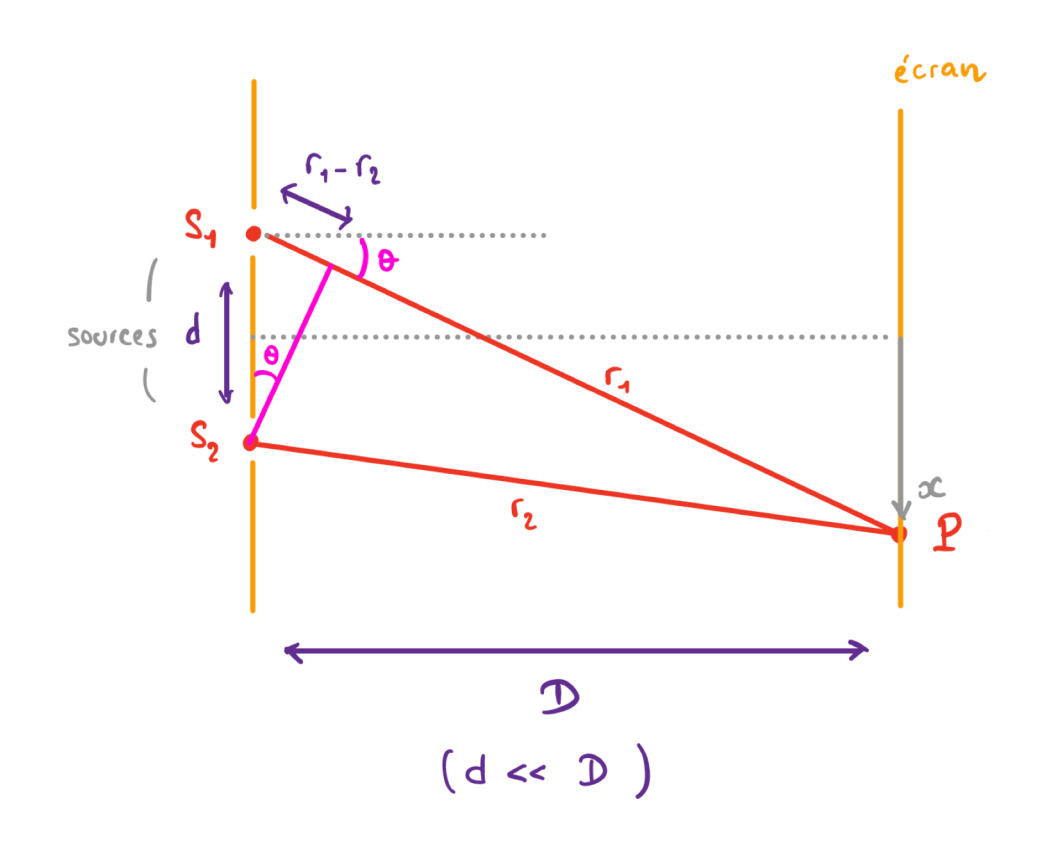
$$= E_{o} \cdot \sin(kz) \sin(\omega t) \hat{x}$$

$$= \sup_{espace} temps$$

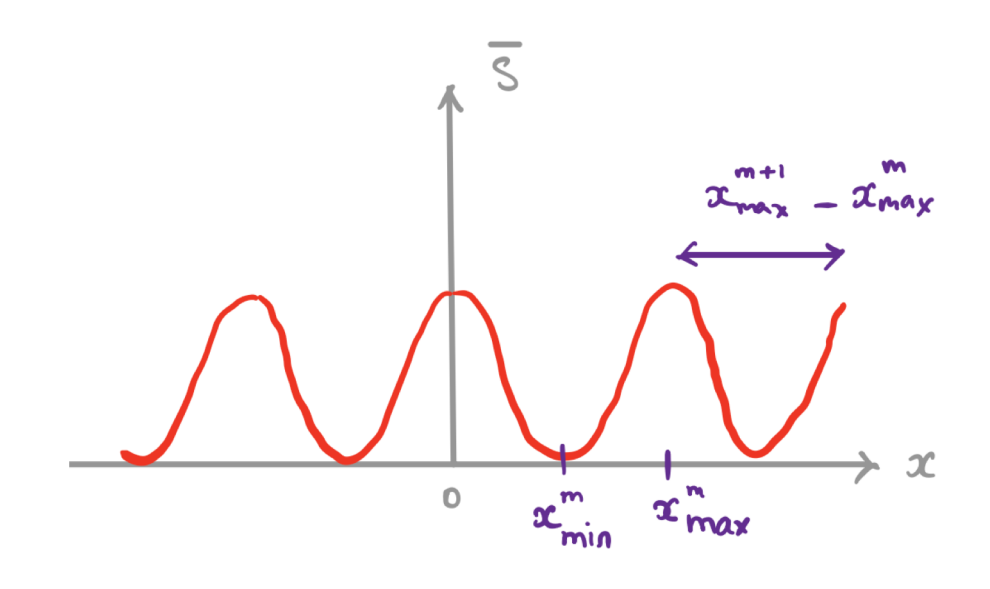
$$\vec{\beta} = \dots = \frac{E_0}{c} \cos(kz) \cos(\omega t) \hat{y}$$



# Interférences: 2 sources ponctuelles



$$\overline{S}$$
  $\approx \cos^{3}\left(\frac{k d}{2D}x\right) = \cos^{3}\left(\frac{\pi d}{\lambda D}x\right)$ 



$$\mathfrak{X}_{max}^{m} = m \frac{\lambda \mathcal{D}}{d}$$

" interférences

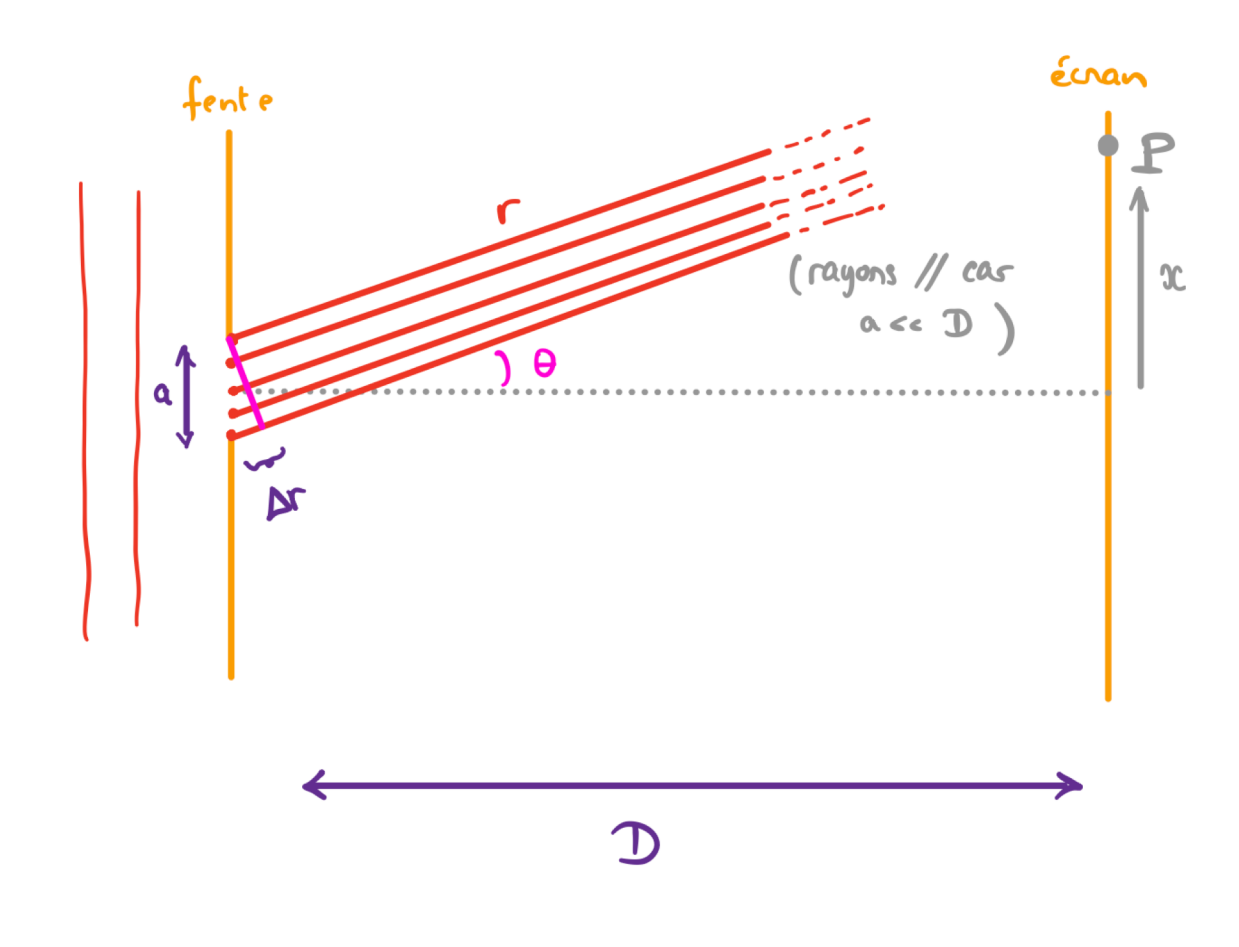
constructives "

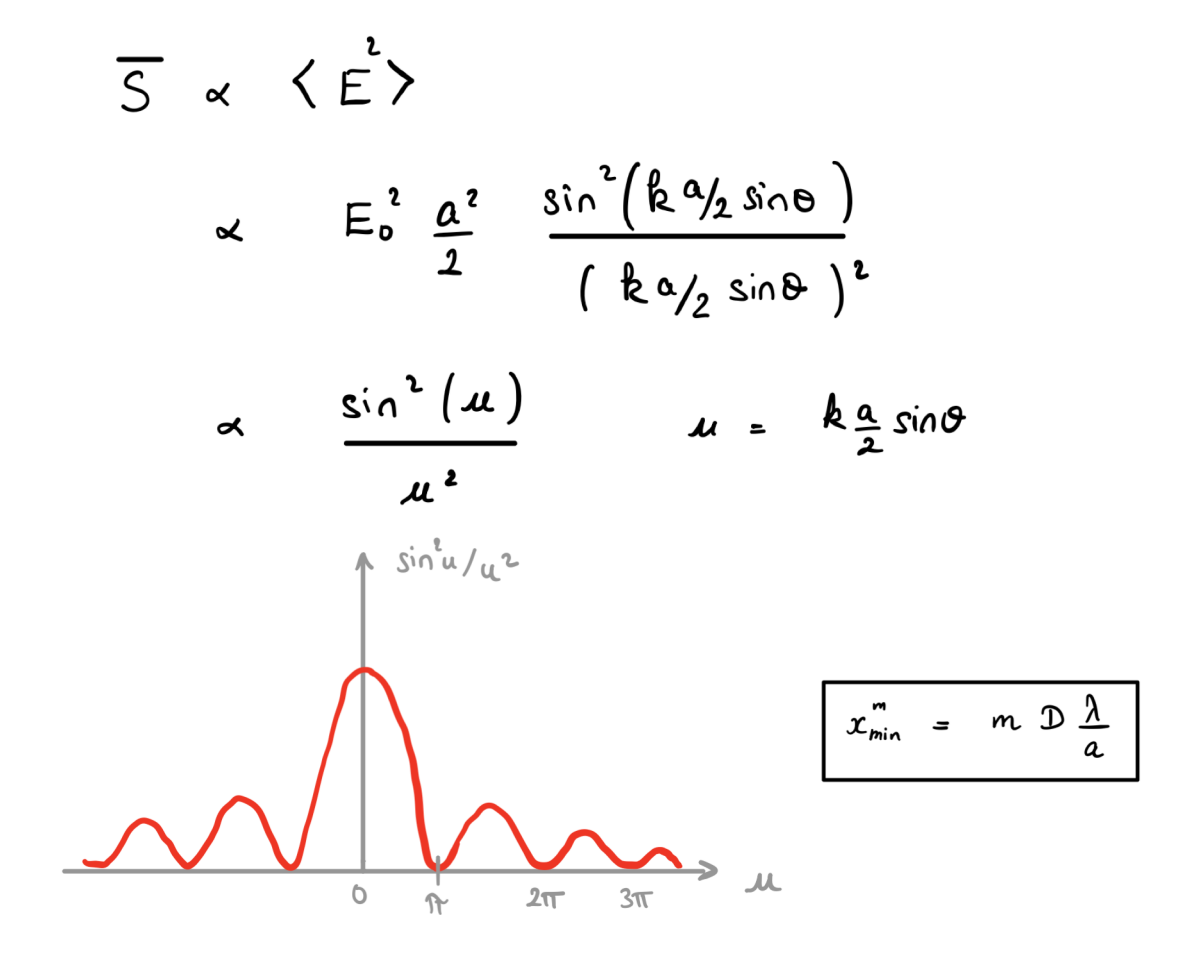
$$x_{\min}^{m} = \left(m + \frac{1}{2}\right) \frac{\lambda D}{d}$$

" interférences

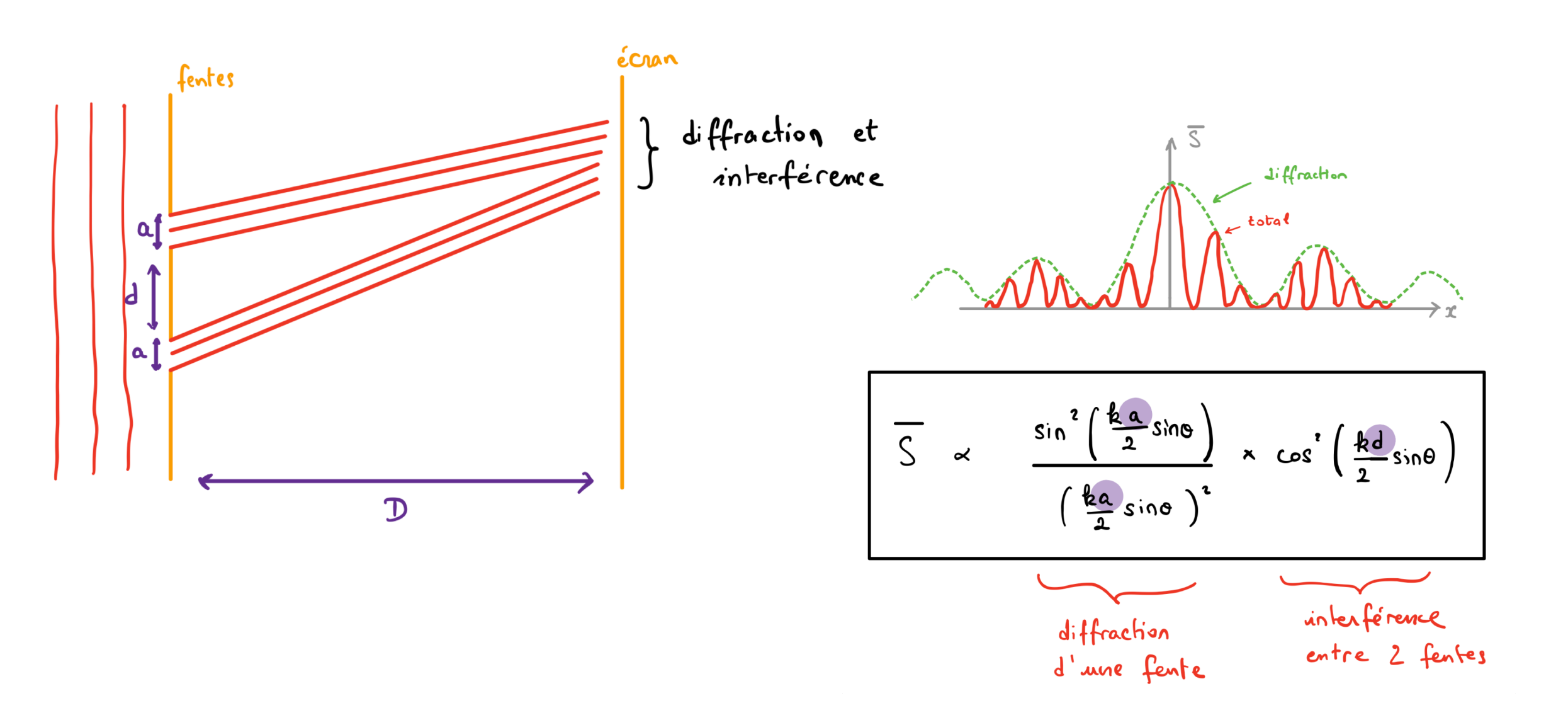
destructives "

### Interférences: diffraction par une fente

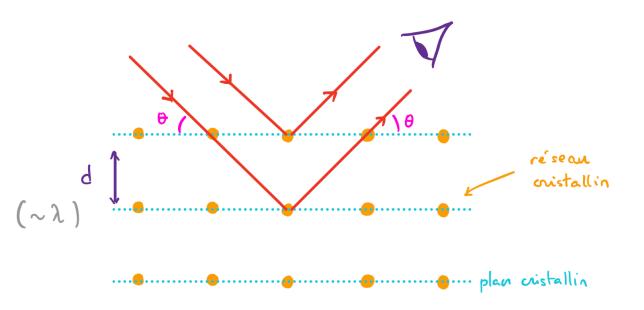




# Interférences: diffraction et interference par deux fentes



# Diffraction de Bragg



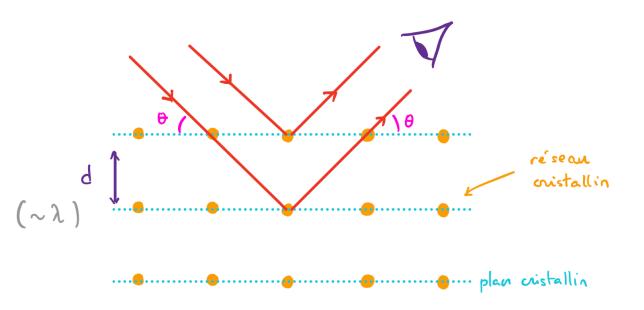
condition pour interférence constructive :

déphasage =  $k 2 d sin 0 = m 2\pi m = 1,2,...$ 

$$\Leftrightarrow$$
 2 d sino = m  $\lambda$ 

ex: on connaît  $\lambda$ , mesure  $\theta \Rightarrow d_{vistal}$ 

# Diffraction de Bragg



condition pour interférence constructive :

déphasage =  $k 2 d sin 0 = m 2\pi m = 1,2,...$ 

$$\Leftrightarrow$$
 2 d sino = m  $\lambda$ 

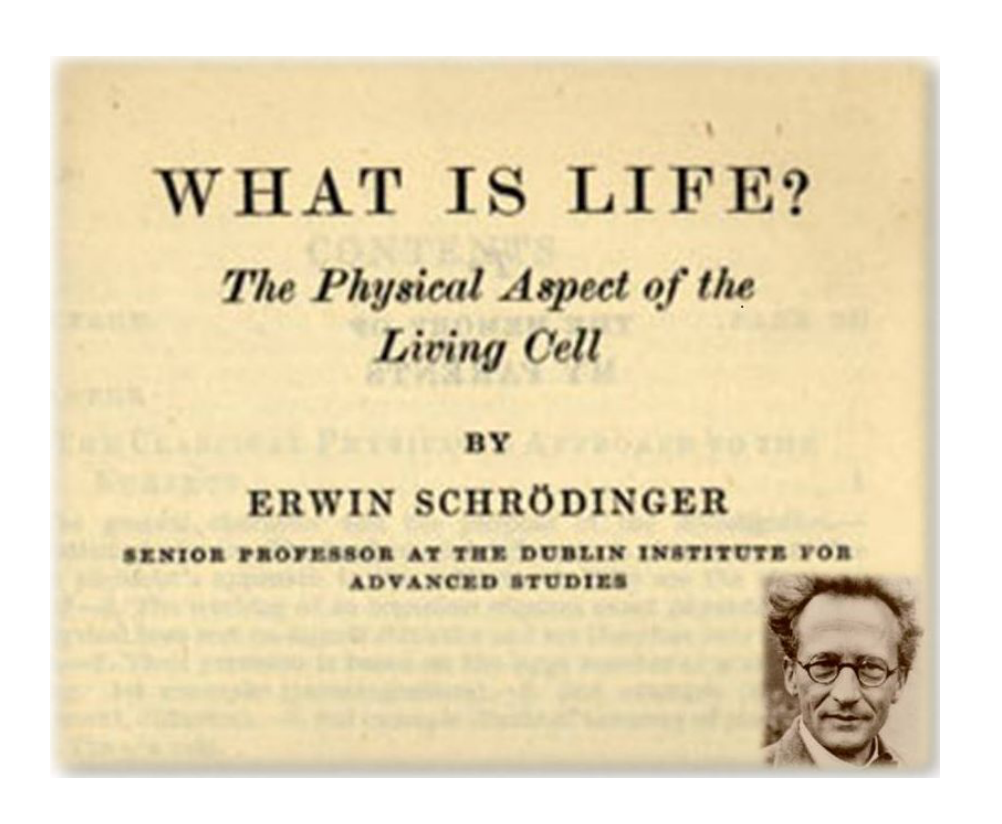
ex: on connaît  $\lambda$ , mesure  $\theta \Rightarrow d_{vistal}$ 

### Merci et belle fin d'année 2024!



Ce fut un plaisir de vous enseigner...





ma petite recommendation de lecture pour vos vacances...